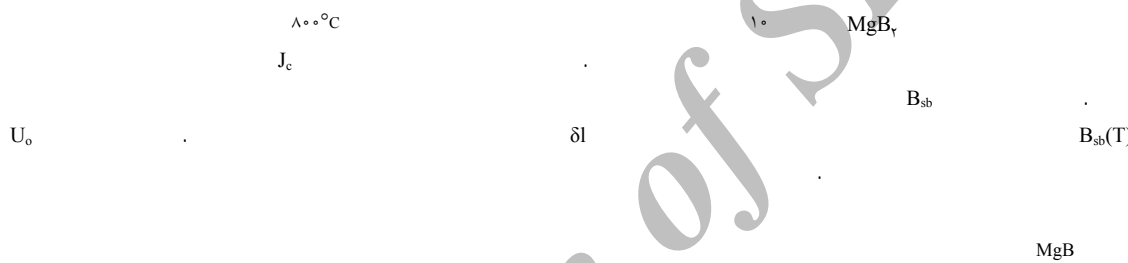


MgB₂



شار مغناطیسی و میدان مغناطیسی بحرانی بالای H_{c2} در ابررساناگی نوع II در حالت مخلوط، میدان به شکل رشته‌های نازک (گردشاره‌های مغناطیسی) به داخل ابررسانا نفوذ می‌کند. با عبور جریان از درون ابررساناگ، گردشاره‌ها شروع به حرکت می‌کنند و باعث کاهش خواص ابررساناها می‌شوند. لذا بایستی به نحوی بتوان از حرکت گردشاره‌ها جلوگیری نمود. یکی از روش‌های میخکوبش شار استفاده از ناخالصی به عنوان فاز ثانویه است. وقتی که اندازه ناخالصی‌ها قابل مقایسه با طول همدوسوی باشند می‌توانند به عنوان مراکز میخکوبش عمل کنند و مانع از حرکت گردشاره‌ها شوند. دو سازوکار غالب در ابررساناگی نوع II که بزرگ، سازوکار میخکوبش، δT_c و سازوکار میخکوبش δJ_c هستند که اولی ناشی از تغییر فضایی پارامتر گینزبرگ به خاطر اختلالات دمای گذار بحرانی است و دیگری ناشی از پراکندگی مسیر آزاد میانگین الکترون است.

MgB₂ که برای اولین بار در سال ۲۰۰۱ خاصیت ابررساناگی آن توسط ناگاماتسوی ژاپنی کشف شد [۱]، به دلیل دمای بحرانی بالا (۳۹ کلوین)، هزینه پایین و ترکیب شیمیایی ساده-اش پتانسیل بالایی برای کاربرد در فناوری دارد [۲]. با این حال پایین بودن میدان بحرانی بالا، H_{c2}، و چگالی جریان بحرانی، J_c، MgB₂ خالص باعث محدودیت‌هایی در استفاده از آن شده است. در سال‌های اخیر مطالعات مختلف نشان داده است که می‌توان خاصیت ابررساناگی MgB₂ را از طریق اضافه کردن ناخالصی‌های مختلف کربنی نظیر کربن خالص [۳]، نانولوله‌های کربنی [۴] و روغن سیلیکون [۵] بهبودبخشید. در این ترکیب تحت تأثیر عوامل مختلفی است مانند کیفیت و اندازه ذرات پودر، دما و زمان کلوخه‌سازی است. اگر چه برای افزایش J_c لازم است دو عامل اصلی کنترل شود: میخکوبش

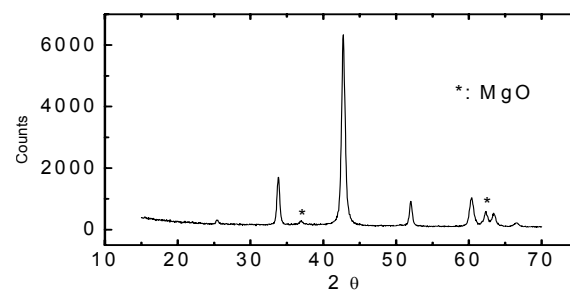
فعال‌سازی به‌طور حرارتی به صورت تابعی از میدان مغناطیسی برای MgB_2 آلاییده به مالیک اسید مطالعه شده است.

قرص MgB_2 به روش in-situ با افزایش 10° درصدی مالیک اسید، $C_6H_5O_5$ ، ساخته شده می‌شود. ابتدا بورن و تولوئن و مالیک اسید با هم مخلوط و در دمای $C = 210^{\circ}$ کلوخه‌سازی شدند تا مالیک اسید تجزیه شود. استفاده از تولوئن برای همگن کردن نمونه ضروری است. پودر به دست آمده خشک و با منیزیم مخلوط و به صورت یک قرص فشرده و در دماهای $C = 800^{\circ}$ کلوخه‌سازی شدند. برای دانستن جزئیات بیشتر ساخت نمونه به مرجع [۹] رجوع شود. جهت شناسایی فازهای ناخالصی پراش اشعه X انجام گرفت. الگوی پراش اشعه X در شکل ۱ نشان داده شده است همان‌طور که از روی الگوی پراش اشعه X مشاهده می‌شود ماده غالباً دارای فاز MgB_2 می‌باشد اما مقداری ناخالصی MgO نیز مشاهده می‌شود که به صورت یک لایه عایق در بین دانه‌های MgB_2 نشسته و باعث اندکی کاهش در J_c می‌شود.

اندازه‌گیری‌های مغناطیسی و تراپری با استفاده از سیستم اندازه‌گیری خواص فیزیکی، PPMS، انجام گرفت. حلقه‌های پسماند مغناطیسی در یک محدوده دمایی $K = 20-325$ و مغناطیسی $T = -8/7$ برای این نمونه انجام شد.

نتایج اندازه‌گیری مقاومت الکتریکی به صورت تابعی از دما در حضور میدان‌های مغناطیسی $T = -8/7$ برای نمونه MgB_2 آلاییده با 10° درصد وزنی مالیک اسید در دمای کلوخه‌سازی $C = 800^{\circ}$ در شکل الحقیقی ۲ نشان داده شده است. همان‌طور که در شکل دیده می‌شود با افزایش میدان مغناطیسی T کاهش می‌یابد.

پهن‌شدگی ناحیه گذار ابررسانایی در نمودار $T-p$ به خوبی اثر شارش شار مغناطیسی حمل شده به‌طور حرارتی را نشان می‌دهد. براساس اتفاق انرژی ناشی از حرکت گردشارهای می‌توان به خوبی پهن‌شدگی ناحیه گذار در مقاومت الکتریکی



شکل ۱. الگوی پراش اشعه X برای ابررسانای MgB_2 آلاییده با 10° درصد مالیک اسید برای دماهای کلوخه‌سازی $C = 800^{\circ}$

هردوی این سازوکارها به وسیله ذرات غیر ابررسانشی واقع در میان دانه‌های ماده در ابررسانا ایجاد می‌شوند [۶].

از روش‌های تعیین سازوکار میخکوبش، بررسی وابستگی دمایی میدان متقطع B_{sb} است. در این مقاله سازوکار میخکوبش گردشارهای در چارچوب نظریه جمعی بلاتر [۷] و انرژی فعال‌سازی برای یک نمونه MgB_2 آلاییده به 10° درصد وزنی مالیک اسید مورد بحث قرار گرفته است.

در چارچوب نظریه جمعی که از سوی بلاتر، چگالی جریان بحرانی در میدان‌های مغناطیسی پایین‌تر از میدان متقطع ($H < H_{sb}$) به صورت زیر می‌باشد:

$$(1) \quad H_{sb} \propto J_{sv} H_{c2}$$

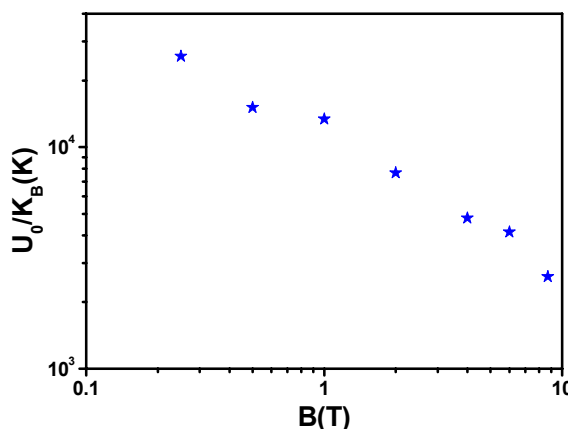
که در آن J_{sv} چگالی جریان بحرانی در ناحیه میخکوبش تک شاره‌ای است. در میدان‌های بالاتر برای $H > H_{sb}$ به صورت نمایی کاهش می‌یابد:

$$(2) \quad J_c(H) = J_c(0) \exp[-(H/H_0)^{3/2}]$$

که در آن H_0 یک پارامتر بهنجارش از مرتبه B_{sb} است و برای $H > H_{sb}$ چگالی جریان بحرانی به صورتی توانی با میدان مغناطیسی به فرم $J_c(H) \propto H^\beta$ کاهش می‌یابد. گرایسن سازوکارهای میخکوبش δI و δT_c را که ناشی از وابستگی‌های متفاوت دمایی J_{sv} است، در ناحیه میخکوبش تک گردشارهای روى میدان متقطع به صورت زیر تعیین کرد:

$$(3) \quad B_{sb}(T) = B_{sb}(0) (1-t^{3/2}/1+t^{3/2})^v$$

که در آن برای سازوکار $v = 7/6$ مساوی با 0.833 و برای سازوکار میخکوبش δI برابر با 2 است و $t = T/T_c$ دمای کاهش می‌یابد. در این مقاله سازوکار میخکوبی و تغییرات انرژی



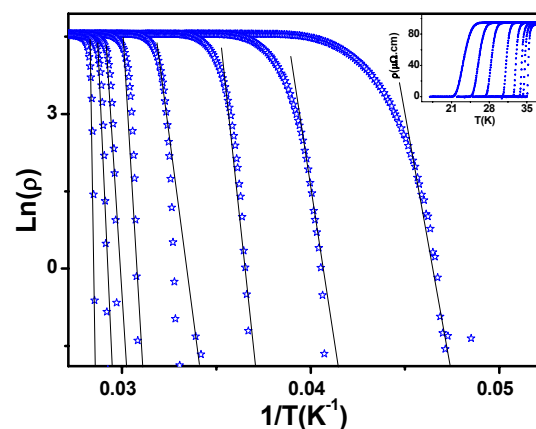
شکل ۳. وابستگی انرژی فعال سازی U به میدان مغناطیسی برای ابررسانای MgB_2 آلاییده با 10° درصد وزنی مالیک اسید برای دمای کلوخه‌سازی $800^{\circ}C$

میدان مغناطیسی در دمای کلوخه‌سازی $800^{\circ}C$ نشان داده شده است. همان‌طور که از روی شکل ۳ مشاهده می‌شود U تقریباً به صورت خطی در کل محدوده میدان مغناطیسی کاهش می‌یابد. چگالی جریان بحرانی با استفاده از تقریب بین، بر اساس رابطه زیر تعیین شد:

$$(5) \quad J_c = 20 \Delta M / V_a (1 - a / 3b)$$

که در آن a و b پهنا و درازای نمونه در داخل میدان خارجی، V حجم نمونه و ΔM ارتفاع حلقه پسماند است.

شکل ۴ چگالی جریان بحرانی را به صورت تابعی از میدان مغناطیسی و دما نشان می‌دهد. با افزایش دمای واکنش J_c کاهش یافته است، در میدان‌های مغناطیسی کوچک و دماهای پایین منحنی تقریباً مستطح بوده که نشان از وابستگی ضعیف میدانی چگالی جریان بحرانی دارد. اما بعد از یک میدان متقطع، B_{sb} ، با افزایش میدان مغناطیسی، J_c به سرعت کاهش می‌یابد همان‌طور که شکل ۴ نشان می‌دهد چگالی جریان بحرانی J_c در دمای $20K$ و میدان $T = 2$ برای این نمونه بالای $10^4 A/cm^2$ است که تقریباً یک مرتبه بزرگی بیشتر از چگالی جریان بحرانی برای MgB_2 می‌باشد [۱۲]. دلیل این افزایش می‌تواند میخکوبش شار ناشی از جانشانی کردن در مکان بورن باشد. برای تعیین دقیق میدان متقطع B_{sb} می‌توان معادله (۲) را به صورت $-\log[j_c(B)/j_c(0)]$ بر حسب



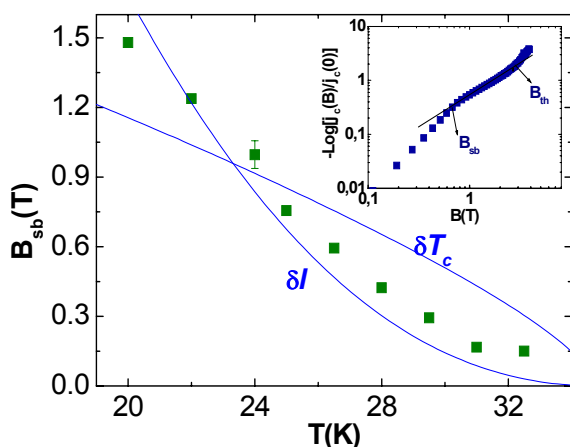
شکل ۲. رسم آریبیوسی مقاومت الکتریکی برای ابررسانای MgB_2 آلاییده با 10° درصد وزنی مالیک اسید در دماهای کلوخه‌سازی $800^{\circ}C$. (شکل الحاقی: وابستگی مقاومت الکتریکی به دما در حضور میدان‌های مغناطیسی مختلف را نشان می‌دهد).

به خاطر حضور میدان مغناطیسی را شرح داد [۱۰]. معمولاً پهن شدگی مقاومت الکتریکی ناحیه گذار در حضور میدان مغناطیسی یعنی وقتی که $\rho(T) < \rho_0$ (که ρ_0 مقاومت حالت نرمال بالای گذار است)، برای ابررساناهای لایه‌ای توسط پراکندگی انرژی ناشی از حرکت گردشарه‌ها توصیف می‌شود [۱۱]. در این ناحیه مقاومت الکتریکی ناشی از خرزش گردشاره‌هاست. طوری که $\rho(T)$ توسط معادله زیر توصیف می‌شود:

$$(4) \quad \rho(T,B) = \rho_0 \exp(-U_0 / k_B T)$$

که در آن U انرژی فعال سازی است و می‌توان آن را از روی شبیخ طبی نمودار آریبیوسی (بر طبق معادله ۴) تعیین کرد. از آنجایی که در معادله (۴) U_0 مستقل از دما در نظر گرفته شده است، مقدار U_0 را باید در محدوده دمایی زیر T_c تعیین کرد. در گذارهای پهن انرژی فعال سازی، (B, U_0) ، معمولاً مستقل از دما است و می‌توان آن را از روی شبیخ بخش خطی منحنی $\ln p$ بر حسب $1/T$ به دست آورد. در شکل ۲ وابستگی $\ln p$ بر حسب $1/T$ برای دمای کلوخه‌سازی $800^{\circ}C$ نشان داده شده است.

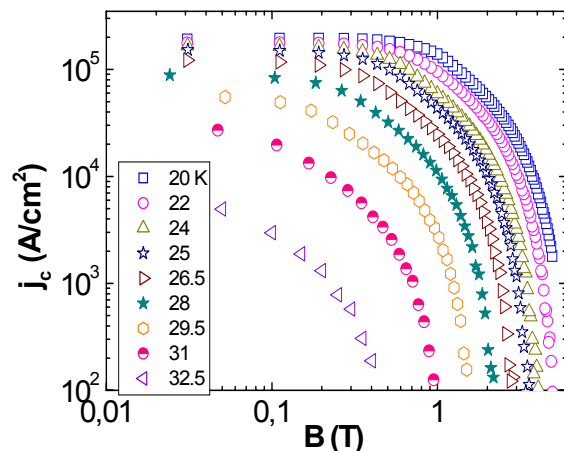
شکل ۲ رفتار فعال شدن شار به طور حرارتی را به وضوح نشان می‌دهد. در شکل ۳ نتایج حاصله از روی برازش داده‌های تجربی به معادله (۴) برای تعیین وابستگی انرژی فعال سازی به



شکل ۵. وابستگی دمایی میدان متقطع B_{sb} ، منحنی‌های میخکوبش δI و δT_c مطابق با معادله (۳). (شکل الحاقی: منحنی δT_c در دمای K بر حسب B در دمای 25 درجه میخکوبش δI بر حسب $\log[j_c(B)/j_c(0)]$ نشان می‌دهد). خطای نوعی ناشی از محاسبه B_{sb} با $error$ bar نشان داده شده است.

نتایج تجربی نشان داد که افزودن 10 درصد وزنی مالیک اسید به ابررسانای MgB_2 باعث افزایش چگالی جریان بحرانی J_c به اندازه تقریباً یک مرتبه بزرگی می‌گردد. لذا اضافه نمودن مالیک اسید باعث افزایش بیشتر میخکوبش شار مغناطیسی می‌شود. تحلیل نتایج تجربی در غالب نظریه جمعی پیشنهاد می‌نماید که سازوکار غالب در میخکوبش شار مغناطیسی، سازوکار δI است. U_0 تقریباً به صورت خطی در کل محدوده میدان مغناطیسی کاهش می‌یابد.

از آقایان پروفسور شی و پروفسور ونگ برای همکاری و اجازه استفاده از تجهیزات دانشگاه ولونگونگ استرالیا صمیمانه تشکر می‌کنیم.



شکل ۴. وابستگی دمایی و مغناطیسی چگالی جریان بحرانی برای نمونه MgB_2 آلاییده به مالیک اسید و کلوخه‌سازی شده در $800^{\circ}C$.

لگاریتمی رسم کرد. انحراف داده‌های تجربی در میدان‌های بالا و پایین از معادله (۲) با B_{sb} و B_{th} نمایش داده می‌شود (مطابق شکل الحاقی به شکل ۵) که در آن B_{sb} تقاطع دو ناحیه میخکوبش تک شاره‌ای و میخکوبش گردشاره‌های دسته کوچک می‌باشد و انحراف در میدان‌های بالا (B_{th}) که به خط برگشت ناپذیری نزدیک است به ارتعاشات حرارتی وسیع نسبت داده می‌شود [۱۲].

شکل ۵ وابستگی دمایی میدان متقطع B_{sb} را نشان می‌دهد. منحنی‌های خط‌چین برازش داده‌های تجربی B_{sb} را به معادله (۳) با مقادیر 7 برابر با $0/67$ و 2 نشان می‌دهد. همان‌طور که از روی شکل ۵ مشاهده می‌شود انحنای منحنی تجربی رو به بالا است در حالی که انحنای منحنی δT_c به سمت پایین است لذا سازوکار میخکوبش δT_c با داده‌های تجربی در تافق نیست در حالی که انحنای داده‌های تجربی به خوبی با منحنی میخکوبش δI به خصوص در دماهای پایین هماهنگ می‌باشد. بنابراین سازوکار میخکوبش غالب در این ابررسانا، سازوکار میخکوبش δI ناشی از افت و خیزهای مسیر آزاد میانگین الکترون در بین نواحی ابررسانا است.

8. R Griessen, Wen Hai-hu, A J J van Dalen, B Dam, J Rector, H G Schnack, S Libbrecht, E Osquigui, and Y Bruynseraede, *Phys. Rev. Lett.* **72** (1994) 1910.
9. M S A Hossain, J H Kim, X Xu, X L Wang, M Rindfleisch, M Tomic, M D Sumption, E W Collings, and S X Dou, *Supercond. Sci. Technol.* **20** (2007) L51–L54.
10. A K Pradhan, Z X Shi, M Tokunaga, T Tamegai, Y Takano, K Togano, H Kito, and H Ihara, *Phys. Rev. B* **64**.(2001) 212509.
11. T M Palstra, B Batlogg, R B van Dover, L F Schneemeyer, and J V Waszchak, *Phys. Rev. B* **41**.(1990) 6621.
12. X L Wang, Z X Cheng, and S X Dou, *Appl. Phys. Lett.* **90** (2007) 420501.
1. D Varshney, M Nagar, *Supercond. Sci. Technol.* **20** (2007) 930.
2. P de la Mora, M Castro, G Tavizon, *Solid State Chemistry* **196** (2002) 173-175.
3. W K Yeoh, J H Kim, J Horvat, X Xu, M J Qin, S X Dou, C H Jiang, T Nakane, H Kumakura and P Munroe, *Supercond. Sci. Technol.* **19** (2006) 596.
4. J H Kim, W K Yeoh, M J Qin, X Xu, S X Dou, P Munroe, H Kumakura, T Nakane and C H Jiang, *Appl. Phys. Lett.* **89** (2006) 122510.
5. S R Ghorbani, X L Wang, S X Dou, Sung-IK Lee, and M S A Hossain, *Phys. Rev. B* **78** (2008) 184502.
6. M H Pu, Y Feng, P X Zhang, L Zhou, J X Wang, *Physica C* **386** (2003) 47.
7. G Blatter, M V Feigel'man, V B Geshkenbein, A I Larkin, V MVinokur, *Rev. Mod. Phys.* **66** (1994) 1125.